

تأثير الختم الفوري للعاج والتقادم الحراري المائي في متانة ارتباط الخزف الزجاجي المقوى ببلورات ثنائية سيليكات الليثيوم: (دراسة مخبرية)

محمد نادر سعد الدين^{1*} عمر العادل²

¹* طالب دكتوراه - قسم تعويضات الأسنان الثابتة - كلية طب الأسنان - جامعة دمشق.

²أسناد في قسم تعويضات الأسنان الثابتة - كلية طب الأسنان - جامعة دمشق.

المُلْخَّص:

خلفية البحث وهدفه: تم اقتراح الختم الفوري للعاج مباشرة بعد تحضير الأسنان، من المهم معرفة تأثير تلك التقنية على متانة ارتباط الترميمات الخزفية والتي يشيع استخدامها لتأمين المُتطلبات الجمالية للمرضى، لذلك تهدف هذه الدراسة لاختبار الختم العاجي الفوري ومقارنته بطريقة الختم التقليدية وذلك في متانة ارتباط الخزف الزجاجي، كما تهدف الدراسة إلى تقييم تأثير اختبار التقادم الحراري المائي المستخدم لمماثلة الشروط الفموية في متانة ارتباط الخزف مع العاج.

مواد البحث وطريقه: تم جمع عشرين (20) ضاحكة سفلية وتقسيمها إلى مجموعتين، حيث تمثل المجموعة الأولى (10): الختم العاجي الفوري Immediate Dentin Sealing (IDS)، بينما تمثل المجموعة الثانية (10): الختم العاجي المتأخر Delayed Dentin Sealing (DDS). تم إزالة الثلث التاجي الإلطيقي لناتج الأسنان لكشف سطوح مستوية من العاج السطحي، ثم خُتمت السطوح العاجية في مجموعة IDS مباشرة بعد التحضير باستخدام التحرش الحمضي والغسل ثم نظام الربط العام (ALL-BOND UNIVERSAL®). تم تطبيق الترميمات المؤقتة لجميع مفردات العينة في المجموعتين باستخدام الكومبوزيت المؤقت ضوئي التماير (PRO-V FILL®). تم إلصاق عشرين (20) فرضاً خزفياً (IPS e.max Press) على السطوح العاجية بالأسمنت الراتنجي (Variolink N). قُسمت كل مجموعة ختم عاجي إلى مجموعتين متساويتين (خمس ضواحك في كل مجموعة) وفقاً لإجراء بروتوكول الشيخوخة المتتسارعة (مع أو بدون التقادم الحراري المائي)، تم فحص متانة ارتباط الأفراص الخزفية من خلال إجراء اختبار مقاومة قوى القص المجهري لمفردات العينة باستخدام جهاز الاختبارات الميكانيكية العام (Testometric M350-10KN) بسرعة (1) م/دقيقة، بحيث كان محور التطبيق موازيًّا لسطح التماس والربط البينية حتى حدوث الفشل. تم جمع البيانات وتحليلها، حيث أجريت المقارنة الثانية بين مجموعات الدراسة باستخدام اختبار (student's t-test) للعينات المستقلة مع اعتماد مستوى الدلالة (0.05).

النتائج: كان متوسط مقاومة قوى القص المجهري في مجموعة IDS أكبر من مجموعة DDS قبل تطبيق اختبار التقادم، بينما لم يكن هناك فروق جوهرية ذات دلالة إحصائية بين مجموعتي الختم العاجي بعد تطبيق الشيخوخة، كما كان متوسط مقاومة قوى القص المجهري قبل تطبيق اختبار التقادم الحراري المائي أكبر بفارق جوهري إحصائياً منها بعد تطبيقه وذلك في كلا مجموعتي الختم العاجي ($p < 0.05$).

الاستنتاجات: ساهم الختم الفوري للعاج في تحسين متانة الارتباط لأفراص خزف ثنائية سيليكات الليثيوم المرتبطة بعاج الأسنان قبل تطبيق اختبار التقادم الحراري المائي. كما ساهم اختبار التقادم في تخفيض متانة ارتباط الأفراص الخزفية في كلا مجموعتي الختم العاجي.

تاريخ الإيداع: 2022/6/26

تاريخ القبول: 2022/5/21

حقوق النشر: جامعة دمشق - سوريا، يحتفظ المؤلفون بحقوق النشر بموجب

ISSN: 2789-7214 (online)

<http://journal.damascusuniversity.edu.sy>



MHD Nader Saadeddin*¹Omar Al-Adel²^{*1} PhD student, Department of Fixed Prosthodontics, Faculty of Dentistry, Damascus University.² lecture, Department of Fixed Prosthodontics, Faculty of Dentistry, Damascus University.**Abstract:**

Objectives: Immediate dentin sealing had been suggested immediately after tooth preparation, it is critical to know the affect of this technique on bond strength of ceramic restorations that used widely for aesthetic reason. So, the aim of this study was to evaluate the effect of immediate dentin sealing technique on bond strength of glass ceramic and comparing with delayed dentin sealing, and to evaluate the effect of hydrothermal aging that used to mimic the oral condition on bond strength of ceramic to dentin.

Materials and Methods: Twenty extracted human premolars ($N=20$) were collected and divided into two groups. One group ($n=10$) for immediate dentin sealing (IDS) while the other group ($n=10$) for delayed dentin sealing (DDS). The occlusal coronal third of the crowns were trimmed and removed to expose flat superficial dentin surfaces. Dentin surfaces of IDS group were etched and sealed immediately after preparation with universal bonding system (ALL-BOND UNIVERSAL®). Provisional restorations were made using (PRO-V FILL®). Twenty discs made of lithium disilicate glass-ceramic (IPS e.max Press) were bonded to the dentin surfaces using resin cement (VarioLink N). Each group was subdivided into two sub-groups ($n=5$) according to the hydrothermal aging protocol (with and without aging). Specimens were tested for micro-shear bond strength using a universal testing machine (Testometric M350-10KN) at 1mm\min until failure occurred. Data were analyzed using (Independent-samples student's t-test) for comparison of mean micro-shear bond strength between groups ($\alpha=0.05$).

Results: The mean value of micro-shear bond strength in IDS group was significantly higher than those for DDS group before aging. No significant differences were found between two sealing groups after aging. The mean value of μ SBS before Hydrothermal aging was statistically significantly higher than those after aging in two sealing groups ($p < 0.05$).

Conclusions: IDS can improve bond strength of lithium disilicate glass-ceramic discs to dentin before aging. Hydrothermal aging significantly reduced bond strength values of two sealing groups.

Keywords: Immediate Dentin Sealing, Bond Strength, Micro-Shear Bond Strength, Glass-Ceramic, Ceramic Discs, Aging, Hydrothermal Aging.



المقدمة:

باستخدام المواد الرابطة الالاتجية هو الإغلاق والختم الفعال للقنيات العاجية الذي يؤمن حماية للمركب العاجي الذي من عاقي التسرب المجهري (Magne, 2005, 144)، كذلك ذكر Dietschi وزملاؤه (2002, 260) أن الختم العاجي الفوري قد يقلل من فرط الحساسية السنية التالية للمعالجة ويحسن من انتظام الترميم مع جدران التحضير.

إن متانة الارتباط العاجي الالاتجي وسلامة الربط هي أمرٌ أساسيٌ من أجل نجاح الترميمات غير المباشرة. حيث يمكن الحصول على ارتباط أكثر ديمومة الأمر الذي يُلبي حاجة طبيب الأسنان من أجل الترميمات طويلة الأمد. تتحفظ قوى الارتباط بمرور الوقت وتحصل تغيرات بيئوية في السطوح البيئية الأمر الذي يهدد الارتباط، ويمكن أن يحدث التخرب في قوى الارتباط كنتيجة لانحلال المائي hydrolysis لسطح التماس والربط البياني العاجي الالاتجي والذي يحصل إما على حساب المادة الرابطة أو في المنطقة المحيطة ضمن ألياف الكولاجين غير المغلفة بشكلٍ كاملٍ بالراتنج وخاصة عندما تكون الحواف ضمن العاج (Tay *et al.*, 2002a, 372; Tay *et al.*, 2002b, 473).

وهناك طرق كثيرة لقياس متانة ارتباط الترميمات المختلفة مع النسج السنية، يجب أن يكون اختبار الارتباط المتماثلي المستخدم دقيق وموثوق سريرياً وقليل الحساسية، كما يجب أن يسمح باستخدام أدوات غير مكلفة أو مُعَدّة (Van Meerbeek *et al.*, 2010, e101). صَنَّف Oilo (1987, 220) الاختبارات المستخدمة في قياس متانة الارتباط إلى نوعين: كمية ونوعية، تدرس الاختبارات النوعية فشل الارتباط بينما تتبأ الاختبارات الكمية بديمومة وقدرة تحمل قوة الارتباط (تحليل وتوزع weibull). تُقيّم متانة الارتباط بالطرق المخبرية والأداء السريري، حيث يمكن قياسها إما بطريقة اختبار القص الكبير (macro-SBS) أو اختبار القص المجهري (macro-shear).

أمّنت الترميمات الخزفية بفضل تطور أنظمة الربط والإلصاق حللاً ترميمياً مقبولاً من الناحيتين الجمالية والوظيفية، وأُستخدم في صنعها أنظمة مُختلفة من الخزف أهمها نظام الخزف الزجاجي المقوى ببلورات ثانية سيليكات الليثيوم، إذ يمتلك هذا الخزف خواص بصرية وميكانيكية مُميزة، ويؤمن تركيبه المجهري إمكانية تحرشه الحمضي (Kelly, 2008, 5S)، وبالتالي فإن قوة ارتباطه بالأسمدة الالاتجية عالية.

يعتبر سوء الانتظام وتشكل الفجوات بالإضافة إلى الفقد التدريجي لقوى الارتباط مع مرور الوقت وحدوث التسرب المجهري من الأسباب الأساسية لفشل الترميمات الخزفية حيث تؤثر هذه العوامل بشكلٍ سلبيٍ في ديمومة هذه الترميمات ومقاومتها للكسر (Carrilho *et al.*, 2007, 531) مما دفع الباحثين لدراسة عدد من العوامل التي قد تساهم في تحسين أدائها.

يُعد نجاح الربط العاجي الالاتجي حجر الأساس في نجاح الترميمات الخزفية وذلك لأنّ المتانة النهائية للمركب السنوي الترميمي تعتمد بشكلٍ كبير على إجراءات الإلصاق، وبسبب ذلك يعتبر تبيير النسج السنوية بعد الانتهاء من التحضير أمراً بالغ الأهمية في زيادة فرص نجاح المعالجة وخصوصاً مع ارتفاع احتمال حدوث اكتشافات عاجية أثناء التحضير حيث يمكن أن يتعرض العاج للتلوث خلال مرحلة الترميم المؤقت بسبب الارتشاح الجرثومي والتسرب المجهري (Qanungo *et al.*, 2016, 241).

اقتصر في نهاية التسعينيات من القرن العشرين إمكانية التطبيق الفوري لعامل الربط العاجي بعد الانتهاء من التحضير قبلأخذ الطبعة النهائية وصنع الترميم المؤقت (Magne, 2005, 145)، ولقد أجريت دراسات واسعة حول مفهوم الختم العاجي الفوري immediate dentin sealing وتم تحسينه بشكلٍ ملحوظ على مدار السنوات الماضية، وقد أشارت الدراسات المبكرة أنّ من أهم ما يميّز الختم الفوري للعاج حديث القطع

اهتزازية صوتية (#S1 Z252411, #S2 Z252413, #S3 Z252412; NSK, NAKANISHI INC., Tochigi, Japan). حُفِظَت الصواحك في محلول مائي للثা�يمول بدرجة حرارة الغرفة لحين البدء بالدراسة ثم نُقلت لحفظ في محلول مائي من كلوريد الصوديوم 0.9% خلال فترة العمل.



شكل (1) : الصواحك السفلية المقلوعة.

تهيئة العينة:

استُخدم قالب من المطاط التكتيفي العجيني zetaplus/oranwash L/indurent gel, Zhermack SpA,) لصنع قواعد إكريلية، مُصممة على شكل مجسم لمتوازي المستويات حجمه $15 \times 15 \times 20$ مم³ حيث صُنعت القواعد من الأكريل الشفاف ذاتي التصلب (Orthocryl®, Dentaurum, Ispringen, Germany) كل ضاحكة لضمان عدم حرکتها باستخدام ملقط تثبيت مزود بسلك معدني شاقولي وقاعدة شمعية، وغُرس جذرها ضمن الأكريل في مركز تناظر قاعدة القالب المطاطي، بحيث يكون محورها الطولي عمودياً على السطح الأفقي السفلي للقالب، وغمّر كامل النصف السفلي اللثوي من ناج الضاحكة ضمن الأكريل، وبقيت الضاحكة معلقة حتى تمام تصلبها، ثم أجري تشذيب للقواعد الإكريلية بعد نزعها باستخدام رؤوس كربيد التنجستن والأقراص الزجاجية.

فُسِّمت الصواحك وفقاً لتقنية الختم العاجي بشكل عشوائي باستخدام برنامج Microsoft Excel 2010, Microsoft

(μSBS) micro-shear سطح الارتباط (Van Meerbeek *et al.*, 2010, e102-3). ثُحبَت متانة الارتباط بتقسيم القوة العظمى المُسببة للفشل على مساحة سطح الارتباط.

إن اختبار مقاومة قوى القص مع مساحة ارتباط 3 مم² أو أقل يُعتبر اختباراً مجهرياً (Shimada *et al.*, 2002, 404) وهو يسمح بالفحص الفعال للأنظمة الرابطة.

يمكن استخدام طرق جديدة من المحاكاة الاصطناعية للتقدم في العمر وذلك لمحاكاة شروط البيئة الفموية، بالإضافة إلى طرق الدورات الحرارية التقليدية والتحميل الميكانيكي الدوري وتقنيات التخزين المائي.

إن التقادم الحراري المائي بجهاز الأوتوكلاف (جهاز التعقيم بضغط البخار) هو إجراء عملٍ فعالٍ من حيث الوقت وذو تكلفة ميسورة وهو يستخدم ليسع من تقادم المركب الترميمي الراتجي العاجي دون أن يؤثّر في سلامته.

ونظراً لأهمية متانة الارتباط في النجاح النهائي للترميمات، ولعدم توافر دراسات حول تأثير التقادم باستخدام جهاز ضغط البخار في متانة ارتباط الخزف الزجاجي عند استخدام تقنية الختم الفوري للعاج، جاءت فكرة هذه الدراسة التي تهدف إلى دراسة تأثير الختم العاجي الفوري والتقادم بالحرارة ال Robbie في مقاومة قوى القص المجهري للأقراص المصنوعة من الخزف الزجاجي المقوى ببلورات ثنائية سيليكات الليثيوم بتقنية الضغط الحراري.

المواد والطريق:

جُمِعَ عشرون من الصواحك البشرية السفلية المقلوعة حديثاً لأسبابٍ تقويمية، شكل(1)، كانت الأسنان سليمةً وخاليةً من الآفات والترميمات والكسور والتصدّعات، وكانت متقاربةً بالأطوال والأبعاد، نُظفت سطوحها الخارجية من أيّة بقايا نسيجية أو تربّبات قلّحية باستخدام أدلة تقلّح يدويةٍ ورؤوسٍ

(3) (#8847KR.314.016; Komet Dental) يُبيّن الشكل (3) السطوح العاجية بعد الانتهاء من التحضير.



شكل(2): تحضير الأسنان.



شكل (3): السطوح العاجية بعد الانتهاء من التحضير.

يَجُرُ بالذكر أنه تم وضع الترميم المؤقت في مجموعة الضواحك ذات الختم العاجي المتأخر مباشرةً بعد الانتهاء من التحضير.

الختم العاجي الفوري:

طبقت تقنية الختم العاجي الفوري في المجموعة الأولى عند الانتهاء من التحضير وقبل وضع الترميم المؤقت، حيث أجري التخريش الحمضي لمدة 15 ثانيةً بتطبيق حمض الفوسفور (UNI-ETCH® (32%), BISCO, Inc., IL, U.S.A.) على السطح العاجي المكشوف، مع الغسل والتجفيف بتمرير تيارٍ هوائيٍّ لطيفٍ، ثم وُضِعَت طبقةً من النظام الرابط الشّي العام ALL-BOND UNIVERSAL®, BISCO, Inc., IL, (U.S.A)، مع تسليط تيارٍ هوائيٍّ لطيفٍ ابتداءً من مسافة 5 سم، وتم التماثر الضوئي لمدة 10 ثوانٍ (600 mW/cm²;

Corporation, Redmond, Washington, USA) إلى مجموعتين متساويتين (عشر ضواحك في كل مجموعةٍ) هما:

- مجموعة الضواحك ذات الختم العاجي الفوري IDS (10-01).
- مجموعة الضواحك ذات الختم العاجي المتأخر DDS -11 (20).

ورُقِّمت الأوجه الجانبية للقواعد الإكريلية وفق أرقام الضواحك في مجموعة الختم العاجي.

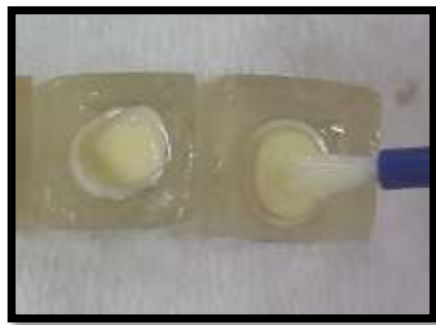
تحضير الأسنان:

حضرت السطوح الإلطاقيّة للضواحك للحصول على سطوح عاجيةٍ مستويةٍ ملساء باستخدام جهاز تشذيب نماذج ماسي مع الابتعاد 2 ملم عن سطح القاعدة الإكريلية، ثم تم تحضير كتفٍ مدورٍ الزاوية بعمق 1.2 مم وابتعد الكتف عن سطح التحضير بمقدار 2 مم وحضر الجدار المُحوري له بمقدارٍ من 1.5 مم ودرجة ميلانٍ 12 درجةً باستخدام سُنْبَلَةٍ مخروطيةٍ مقطوعة #6847KRD.314.016; Komet Dental, Gebr. Brasseler GmbH&Co, Lemgo, Germany، ثم فحصت السطوح العاجية المكشوفة تحت المجهر الضوئي التشريحي المُجسّم (Model SKT 41323; Meiji Stereo Microscope, MEIJI TECHNO Co., Ltd., Saitama, Japan) للتحقق من عمق التحضير، استخدمت أقراصٍ صنفرةٍ خشنةٍ حجم حبيباتها P60 L506/L507 BLACK (Coarse); Disks, Super-Snap® (Rainbow Technique Kit (#8862.314.016; Komet Dental) لإزالة كامل خانة المينا الإلطاقيّة، شكل(2)، وأنهي التحضير باستخدام ورق صنفرة رطب من كربيد السيليكون حبيباته الساحلة باللغة النعومة حجمها P600، تم تتعيم حواف التحضير باستخدام سُنْبَلَةٍ ناعمةٍ مخروطيةٍ مقطوعة الرأس ومدوره الزوايا



شكل (5): صنع الترميم المؤقت على السطوح العاجية قبل التخزين.

LEDition, Ivoclar Vivadent AG, Schaan, Liechtenstein)، شكل (4)، ثم أُعيد التماثر لمدة 20 ثانية بعد تغطية السطح المُحضر ببُلّام الجلسرين، وأُزيلت المادة الرابطة من منطقة حدود التحضير الميناية حيث تم إنهاوّها باستخدام بستايل ماسية ناعمة #8379.314.023, #8959KR.314.018, #8862.314.012;) #FL3, #RD1; (Komet Dental Dura-White Stones, Shofu Dental Corporation, San Marcos, CA, USA ورؤوس حجر أركيساس (#9547.204.030; Komet Dental) مطاطية.



شكل(4): تطبيق النظام الرابط العام أثناء الختم الفوري للعاج.

العمل المخبري:

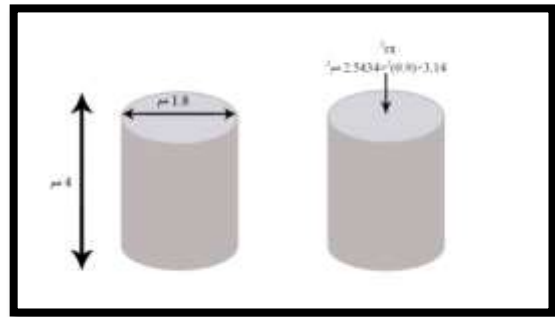
صنعت الأقراص من الخزف الزجاجي بتقنية الضغط الحراري IPS e.max Press 6751020; GEO Wax wire (GEO, ITALY)، صنعت النماذج الشمعية للأقراص باستخدام أوتاد شمعية جاهزة (extra-hard, 2.0 mm, Renfert GmbH, Hilzingen, Germany)، وقد ضُبط قطرها ليكون 1.8 mm وارتفاعها 4 mm تقريباً، شكل (6)، وشكل (7)، (تم استخدام لوح زجاجي لجعل قطر الوند الشمعي 1.8 mm).

الترميم المؤقت:
طبقت طبقة من المادة العازلة المؤقتة (PRO-V COAT[®], BISCO, Inc., IL, U.S.A.) لتغطية السطح العاجي المختوم، وصنع الترميم من الكومبوزيت المؤقت القابل للدكّ وضوئي التصلب (PRO-V FILL[®]) ، وتم ضبط الشكل قبل تماثر الطبقة الأخيرة باستخدام أدوات التشكيل والتحت ليكون بثخانة 2 mm بحيث يعطي كامل سطح التحضير المكشوف، ثم وُضعت طبقة رقيقة من سائل التلميع ضوئي التصلب (BisCoverTM) على كامل السطح، شكل (5).

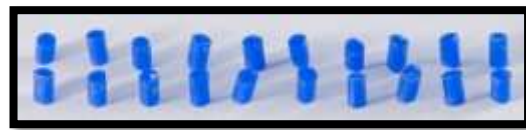
الإلاصاق النهائي:

طُهِّرَ القرص الخزفي بالكحول الإيثيلي بتركيز 70% \pm 2، وتم تبييض سطحه العلوي بنقطة سوداء باستعمال قلم تعليم دائم، ثم نُظُفَ سطح الارتباط الخزفي السفلي بتطبيق حمض الفوسفور (ETCH-37TM) (37%)، BISCO, Inc., IL, U.S.A) لمدة 30 ثانيةً، ومن ثم غُسل القرص بالماء وجُفُف بالهواء، ثم حُمل باستخدام الأداة ذات الرأس اللاصق (Micro-Stix, Microbrush International, WI, USA) الحمضي بتطبيق حمض فلور الماء (Porcelain Etch, ULTRADENT PRODUCTS, Inc., UT, USA) بتركيز 9% لمدة 20 ثانيةً، ثم غُسل السطح بتيار مائي، بعدها وضع القرص في وعاء بلاستيكٍ يحتوي على ماء مُقطر ضمن جهاز التنظيف بالأمواج فوق الصوتية (SILVERCREST Ultraschall Reinigungsgerät SUR 48 C4, Kompernass Handelsgesellschaft mbH, Bochum, Germany)، وتم التجفيف باستخدام جهاز تجفيف بالهواء الساخن (Calor Moveling 1400W; Sèche-cheveux, Silane, PRC) على (ULTRADENT PRODUCTS, Inc., UT, USA) على كامل السطح المُخْرَش، بعدها ترك لمدة 60 ثانيةً، ثم تم تسخين القرص بتسليط تيارٍ هوائيٍ دافئٍ ولطيفٍ ابتداءً من مسافة 5 سم لمدة 30 ثانيةً، ومن ثم طُبَّقت طبقة من النظام الرابط السنّي العام (ALL-BOND UNIVERSAL[®]) على كامل السطح المُهَبِّأً، بعدها تم تسليط تيارٍ هوائيٍ لطيفٍ، وتم التماير الصوتيّ لمدة 10 ثوانٍ.

نُظُفَ السطح العاجي بالفرشاة ومعجون تلميع يحتوي على مسحوق الخفاف الخالي من الفلور (9007171; Prophylaxis Paste, S.S.White Group, C/O Prima Dental Group, Gloucester, England) ، وغُسل بالماء وجُفُف بتيارٍ خفيفٍ من الهواء وبالقطن. تم تحديد منطقة الإلاصاق في مركز السطح العاجي وتمت إحاطتها بشريط من التفلون مثقب بدائره قطرها

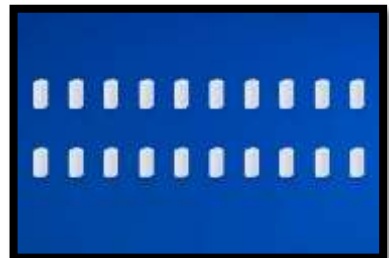


شكل (6): أبعاد النموذج الشمعي للفرص الخزفي.



شكل (7): النماذج الشمعية للأقراس الخزفية.

تمت عملية الكسو والصب حسب تعليمات الشركة المنتجة، صُنعت الأقراس الخزفية IPS e.max Press بلون 1 HO (High Opacity 1)، يُظهر الشكل (8) الأقراس الخزفية النهائية.

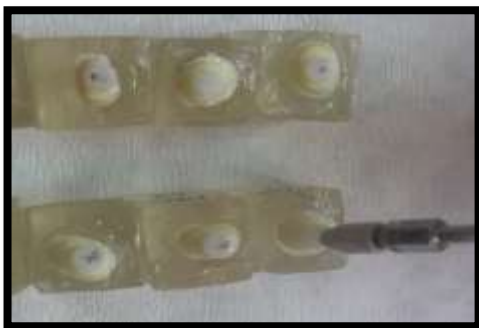


شكل (8): الأقراس الخزفية النهائية.

التجربة النهائية:

جُرِّبَ القرص الخزفي للتحقّق من استقراره وانطباقه على السطح العاجي المُحضر، حيث فُحِصَ انطباق حافة باستخدام المسير السنّي دقيق الرأس (EXPLORER DOUBLE #560/2; N.23/17A, Medesy, Maniago (PN), Italy)، وفي حال وجود نقاط إعاقةٍ تم تحديدها بقلم التعليم وسُحلَت باستخدام سنابيل ماسيةٍ فائقة النعومة مع التبريد بالماء (#8379.314.023, #8959KR.314.018; Komet Dental).

السطح العاجي باستخدام الملفت السنّي واستُخدمت رؤوس اهتزازية صوتية لتطبيق ضغط بمقدار 1.5 نيوتن على تثبيت الملفت (SF12.000; Komet Dental) لمدة 4 ثوانٍ للتأكد من تمام إلصاقه في مكانه بشكل عمودي، شكل (10)، تم التمايز الضوئي لمدة 5 ثوانٍ في البداية، حيث استُخدم المسبر السنّي والمشرط الجراحي مع شفرة رقم 12 لتنظيف منطقة الحواف، ثم تم التمايز الضوئي لمدة 20 ثانيةً من جميع الجهات (600 mW/cm²; LEDition, Ivoclar Vivadent AG)، وأُعيد التصليب لمدة 40 ثانيةً بعد تعطية حواف القرص بهلام الجلسرين، ثم غُسلت الدعامة، تم تلميع منطقة التقاء حواف القرص مع دعامته برؤوس لهب شمعة وأقراص تلميع مطاطية خاصة (OptraPol, Ivoclar Vivadent AG, Schaan, Liechtenstein)، يوضح الشكل (11) الأقراص الخزفية بعد الإلصاق النهائي.



شكل (10): إلصاق القرص الخزفي بالأسمنت الراتنجي.



شكل (11): الأقراص الخزفية بعد الإلصاق النهائي.

فُسمّت كل مجموعة ختم عاجي وفقاً لإجراء بروتكول الشيروخة المتسارعة إلى مجموعتين فرعتين متساويتين (خمسة صواحك في كل مجموعة) هما:

1.8 مم بما يتوافق مع قطر القرص الخزفي، شكل (9)، حيث أُجري في البداية في مجموعة الختم العاجي الفوري التخريش الحمضي بتطبيق حمض الفوسفور (UNI-ETCH® (32%)) على منطقة التحضير المحددة مع حركات اهتزازية لمدة 15 ثانيةً لتنظيف سطح الارتباط الراتنجي، ثم غُسلت الدعامة بتيارٍ مائيٍ، وتم التجفيف بتمرير تيارٍ هوائيٍ لطيفٍ، ومن ثم طبّقت طبقة من النظام الرابط السنّي (ALL-BOND® (UNIVERSAL)) على سطح التحضير المحدد، بعدها تم تسلیط تيارٍ هوائيٍ لطيفٍ، وترك بدون تصليب.



شكل (9): تحديد منطقة الإلصاق العاجية.

بالنسبة إلى مجموعة الختم العاجي المتأخر فقد أُجري التخريش الحمضي بتطبيق حمض الفوسفور ((UNI-ETCH® (32%)) على منطقة التحضير العاجية المحددة لمدة 15 ثانيةً، ثم غُسلت الدعامة بتيارٍ مائيٍ، وتم التجفيف باستخدام كربنة قطنية مع تمرير تيارٍ هوائيٍ لطيفٍ، ومن ثم طبّقت طبقة من النظام الرابط السنّي (ALL-BOND UNIVERSAL®) على سطح العاج المُحرّش، بعدها تم تسلیط تيارٍ هوائيٍ لطيفٍ، وتم التمايز الضوئي لمدة 10 ثوانٍ.

أُصِقَ القرص الخزفي بالأسمنت الراتنجي ثنائياً التصلب Base Bleach XL, Catalyst Transparent low (viscosity; Variolink N, Ivoclar Vivadent AG, Schaan, Liechtenstein)، ووُرُّع على منطقة الإلصاق العاجية المحددة باستخدام أداة حشو مواد لينةً معدنيةً مع التحريرك بواسطة المسبر السنّي، ثم وضع القرص الخزفي فوق

M350-10KN, The Testometric Company Ltd., Rochdale, UK)، حيث تم تثبيت الصاحكة المغمورة بالقاعدة الإكريلينية في الجهاز بشكل مُحكَم وطبقت قوى القص بشكل عمودي على السطح الجانبي للقرص الخزفي المرتبط مع العاج وبحيث يكون محور تطبيق القوى موازيًا لسطح التماس والربط البيانية المتداخلة وأقرب ما يمكن إلى السطح المرتبط العاجي بمقدار 1 مم تقريبًا وذلك بواسطة إزميلٍ من الفولاذ المقاوم للصدأ ذو حافةٍ سكينيةٍ يتحرك بسرعة (1) مم/دقيقة، شكل (13)، واستمر تطبيق قوى القص حتى حدوث فشل الارتباط وانفصال القرص الخزفي عن السطح العاجي حيث توقف جهاز الاختبارات عن تطبيق القوى تلقائيًا عند حدوث هبوطٍ مفاجئٍ في قيم القوى المُطبقة وحفظت أعلى قيمة لها والتي تسببت في حدوث فشل الارتباط قبل حدوث هذا الهبوط وسُجلت بالنيوتون، ثم تم حساب مقدار قوة القص المُنسبة للفشل بالميغا باسكال من خلال قسمة مقدار القوة المُنسبة للفشل بالنيوتون على مساحة السطح المرتبط الخزفي بالميليمتر مربع والذي يساوي ناتج عملية ضرب مربع نصف قطر القرص الخزفي بالثابت باي.

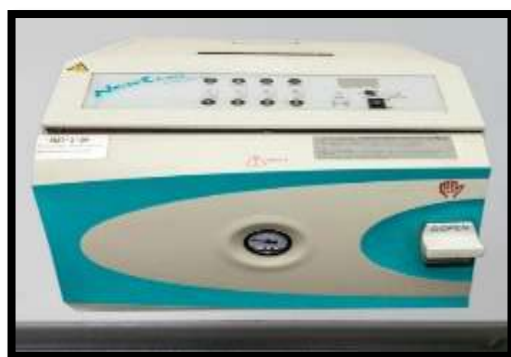
نظمت النتائج في جدول مُرقمٌ بأرقام مفردات عينة الدراسة المخبرية.



شكل(13): يبين تطبيق قوى القص بشكل موازي لسطح التماس البيانية وعمودي على السطح الجانبي للقرص الخزفي.

- مجموعة ضواحك لا تخضع لاختبار التقادم الحراري المائي حيث يُجرى لها اختبار متانة قوى القص المجهري مباشرةً بعد الإلصاق النهائي (15-05-01).
- ومجموعة ضواحك تخضع لاختبار التقادم الحراري المائي باستخدام جهاز التعقيم بضغط البخار قبل إجراء اختبار متانة قوى القص المجهري (20-10-06).

القادم الحراري المائي باستخدام جهاز التعقيم بالحرارة الرطبة:
استُخدم جهاز التعقيم بضغط البخار من أجل المُحاكاة الاصطناعية للنقدم في العمر، حيث وُضعت العينة داخل مُعْقِمة الحرارة الرطبة (NewClave Autohouse AD7-1-3A, APOZA Enterprise Co., Ltd., New Taipei City, Taiwan)، لمدة خمس دوراتٍ متتاليةٍ، استمرت كل دورة لمدة ساعةٍ واحدةٍ بدرجة حرارة 134° منويةٍ وضغطٍ 0.2 ميغا باسكال وتتمت إضافة الماء منزوع الأيونات عند الحاجة، شكل(12).



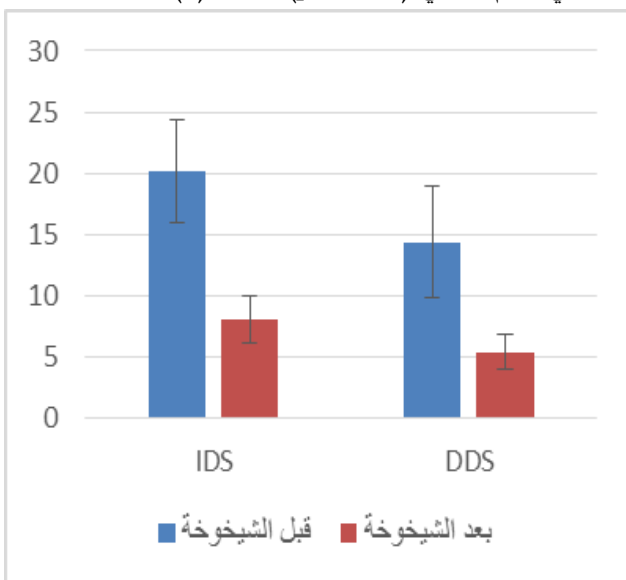
شكل (12): جهاز التعقيم بالحرارة الرطبة.

اختبار متانة قوى القص المجهري:

أُجري اختبار متانة قوى القص المجهري Micro-shear bond strength testing لقياس إجهاد القص النهائي لقوى ارتباط الأقراص الخزفية مع السطوح العاجية المكسوفة للضواحك باستخدام جهاز الاختبارات الميكانيكية العام (Testometric)

الدراسة الإحصائية:

قبل تطبيق التقليد بالحرارة الباردة كانت متانة قوى القص في مجموعة IDS أكبر بفارق جوهري إحصائياً منها في مجموعة DDS بمقدار 5.7 ميغا باسكال ($p = 0.015$), في حين بعد تطبيق التقليد بالحرارة الباردة لم يكن هناك فرق جوهري إحصائياً بين مجموعتي الختم العاجي ($p = 0.222$). جدول (1)



مخطط (1) المتوسطات الحسابية والانحرافات المعيارية لمتانة قوى القص المجهري (ميغا باسكال) في مجموعتي الدراسة قبل تطبيق التقليد وبعده.

جدول (1) نتائج اختبار T-student للمقارنات الثنائية بين المجموعات لمعرفة تأثير تقنية الختم العاجي وتطبيق التقليد الحراري المائي في متانة قوى القص المجهري (ميغا باسكال).

P	متوسط الفرق	بعد التقليد الحراري المائي		قبل التقليد الحراري المائي		نسبة (%)
		الانحراف المعياري	المتوسط الحسابي	الانحراف المعياري	المتوسط الحسابي	
		الانحراف المعياري	المتوسط الحسابي	الانحراف المعياري	المتوسط الحسابي	
0.00	12.1	1.9	8.1	4.2	20.2	IDS
0.00	9.1	1.4	5.4	4.6	14.4	DDS
		2.7	5.7	Mتوسط الفرق		
		0.222	0.015	P		

تم جمع البيانات وتسجيلها في برنامج Microsoft Excel 2010, Microsoft Corporation, Redmond, Washington, USA (IBM SPSS Statistics v.25 software, IBM Corp., Chicago, IL, USA) مع اعتماد مستوى الدلالة 0.05. حيث أُجري اختبار Shapiro-Wilk (Shapiro-Wilk) لمعرفة توزع البيانات، كما أُجريت المقارنة الثنائية بين مجموعات الدراسة باستخدام اختبار T-student للعينات المستقلة لدراسة تأثير تقنية الختم العاجي في مقاومة قوى القص بالإضافة إلى دراسة تأثير تطبيق بروتوكول الشيخوخة في مقاومة قوى القص.

النتائج:

كانت جميع بيانات متانة قوى القص ذات توزع طبيعي حسب اختبار Shapiro-Wilk ($p > 0.05$).

بلغت قيم كلاً من المتوسط الحسابي والانحراف المعياري لمقاومة قوى القص قبل تطبيق بروتوكول الشيخوخة في مجموعة الختم العاجي الفوري IDS (4.2 ± 20.2) ميغا باسكال، وفي مجموعة الختم العاجي المتأخر DDS (14.4 ± 4.6) ميغا باسكال. مخطط (1)

وبعد تطبيق بروتوكول الشيخوخة أصبحت متانة قوى القص في مجموعة IDS (1.9 ± 8.1) ميغا باسكال، وفي مجموعة DDS (1.4 ± 5.4) ميغا باسكال. مخطط (1)

1-دراسة تأثير التقليد الحراري المائي في متانة الارتباط:

كانت مقاومة قوى القص في مجموعة IDS قبل تطبيق بروتوكول الشيخوخة أكبر بفارق جوهري إحصائياً منها بعد تطبيقه بمقدار 12.1 ميغا باسكال ($p < 0.0005$), كما كانت متانة قوى القص في مجموعة DDS قبل تطبيق بروتوكول الشيخوخة أكبر بفارق جوهري إحصائياً منها بعد تطبيقه بمقدار 9.1 ميغا باسكال ($p = 0.001$). جدول (1)

المناقشة:

للسطح الإطباقية بعد إزالة المينا الإطباقى لأنه السطح المناسب لدراسة قوة الارتباط (ISO/TS 11405, 2003) حيث تتناقض المسافة النسبية التي تحملها الأقنية العاجية مع ارتفاع المسافة بعدها عن اللب السنوي. وقد أنهى التحضير باستخدام ورق صنفرة من كربيد السيليكون P600 لتوحيد طبقة اللطاخة (ISO/TS 11405, 2003)، وتم تحضير كتفٍ مُدورٍ الزاوية بعمق 1.2 مم لضمان سهولة ضبط حواف الترميم المؤقت وتأمين الثبات والختم المناسب خلال فترة التخزين.

تم صنع النماذج الشمعية للأقراس الخزفية من الأوتاد الجاهزة ولم يتم تشميمها يدوياً لصعوبة الحصول على الشكل الأسطواني وقد تم جعل سطوح النماذج الشمعية مستوية لضمان الانطباق التام للقرص الخزفي مع سطح العاج المستوى (سطح السن المحضر).

استخدم الخزف الزجاجي المقوى ببلورات ثنائية سيليكات الليثيوم حيث يوجد ميل لاستخدام المواد الخزفية التجميلية الحاوية على السيليكا في الممارسة السريرية لأنها مواد خزفية قابلة للتخلص الحمضي وذات مقاومة عالية (Ritter, 2010, 337)، وصنعت الأقراس بتقنية الضغط الحراري التي تُعطي نتائج أفضل من ناحية الانطباق الداخلي وتلاؤم الحواف (سعد الدين وأبيوب، 2013، 240).

استُخدم في هذه الدراسة نظام رابط سنّي عام (ALL-BOND® UNIVERSAL)، وهو يرتبط مع المينا والعاج وكافة المواد الترميمية، ونظام من الجيل الثامن ثنائية التصلب، يحتوي على أحادي جزيء إستر حمض الفوسفور 10-MDP (-10-MDP) وهي مونوميرات تطور التصاقاً قوياً على سطح السن من خلال تشكيل أملاح كالسيوم غير قابلة للانحلال (Yoshida *et al.*, 2012, 376). كما أن النظام الرابط المستخدم مقوى بجزيئات مالئة نانومترية من السيليكا الغروانية مما يحسن من

يعتمد معدل الديمومة والنجاح السريري لترميمات الخزف الزجاجي بشكل أساسى على متانة الربط البييني (Burke *et al.*, 2002, 18)، حيث تعتبر النقطة الأضعف هي ارتباط المواد الرابطة مع العاج السنوي لذلك تم اقتراح الختم الفوري للعاج لتأمين أفضل تقنية ربط لإلصاق الترميمات الخزفية، وذلك كبديل للختم العاجي المتأخر في محاولة للحماية من التلوث الجرثومي والحساسية السنوية التالية.

تم إجراء هذه الدراسة لمعرفة تأثير الختم العاجي الفوري في متانة سطح التماس والربط البييني العاجي الراتجي للأقراس الخزفية ومقارنتها بطريقة الختم التقليدية، بالإضافة لدراسة تأثير التقادم الحراري المائي باستخدام جهاز التعقيم بالحرارة الرابطة في تلك المتانة.

اختبرت الضواحك البشرية، وتم استثناء الأرحاء لصعوبة الحصول عليها ولتقاديم الأشكال والأحجام الشاذة بينها بهدف الحد من المتغيرات، تُعطي الأسنان الطبيعية نتائج أقرب للحالة السريرية بالمقارنة مع استخدام أسنان اصطناعية وخصوصاً من ناحية الارتباط السنوي الراتجي. واعتمد محلول الثايمول بتركيز 0.05% لحفظ الضواحك لأنّه محلول الموصى به في الدراسات حول الارتباط (ISO/TS 11405, 2003)، حيث يحفظ هذا السائل التركيب السنّي ويؤمن ارتباطاً سنّياً راتجياً للأسنان المقلوعة شيئاً بالأسنان غير المقلوعة (Lee *et al.*, 2007, 1599). تم غمر الضواحك في قواعد إكرييلية لتأمين سهولة العمل وإجراء الاختبارات بتوضيع ثابتٍ وفق ما هو مُحدّد.

يمكن أن يتأثر الارتباط العاجي الراتجي بثخانة العاج المُتنبّي بعد التحضير حيث أنّ قوى الارتباط غالباً ما تكون منخفضة في العاج العميق مقارنة مع العاج السطحي (Ting *et al.*, 2015, 184)، لذلك تم في هذه الدراسة كشف العاج السطحي

استخدام أسمنتات مؤقتة، وبهذا تم إلغاء مرحلة إزالة الأسمنت المؤقت في جلسة الإلصاق النهائي. إن نقص قوة الربط العاجي الراتجي للترميم النهائي يمكن أن يكون سببه بقايا الأسمنت المؤقت. ذكر Frankenberger وزملاؤه (2007, 269) أن استخدام المادة العازلة بعد الختم الفوري للعاج يساعد في حماية سطح العاج المختوم من التلوث ويسمح بعملية تفاعل بلمرة أمثل للربط العاجي الراتجي. طبق سائل التلميع BisCover™ LV لختم المسامية الموجودة وبالتالي تقليل التسرب المجهري.

يُعتبر التنظيف الملائم للدعامات السنية قبل الإلصاق النهائي أمرًا أساسيًّا لنجاح الارتباط النهائي للترميم، وقد استُخدِمَ في هذه الدراسة معجون من مسحوق الخفاف الخالي من الفلور مع فرشاة ناعمة كما تم تطبيق حمض الفوسفور (UNI-ETCH®) على سطوح التحضير لمدة 15 ثانيةً لتنظيف السطوح المختومة من أجل حدوث ارتفاع في طاقة السطح الحرة والترطيب (Magne, 2005, 149). لقد تم التقييم المخبري لطرق عديدة من أجل تنظيف سطوح التحضير المختومة بعد إزالة الترميم المؤقت وقبل الإلصاق النهائي وتم الإخبار عن أعلى قوى ارتباط عند استخدام طرق عديدة منها أنظمة المعاجين من مساحيق الخفاف الخالية من الفلور (Duarte *et al.*, 2009, 5)، ومن ثم طبَّقت المادة الرابطة حيث لم يتم تصليبيها (في مجموعة IDS) قبل الإلصاق النهائي خوفاً من أن تشكل ثخانة قد تعيق الانطباق الكامل للفرص الخزفي، ولا يوجد خوفٌ من عدم تصليبيها عند تطبيقها على سطح طبقة IDS كونها مادة رابطة من الجيل الثامن ثنائية التصلب، إن هدف تطبيق المادة الرابطة هنا هو فقط دعم الترطيب وتسهيل الارتباط الكيميائي بين الأسمنت الراتجي ثنائي التصلب وطبقة IDS من خلال تفاعل عملية البلمرة الكيميائي. بينما تم في مجموعة DDS تصليب المادة الرابطة التي تم تطبيقها على

الخصائص الميكانيكية ومنها مقاومة قوى القص. يستخدم مع هذا النظام تقنية التخريش الحمضي والغسل أو تقنية التخريش الحمضي الذاتي، وقد استُخدِمَ في هذه الدراسة طريقة التخريش الحمضي والغسل، حيث اعتبره Magne (2005, 149) أكثر موثوقية على المدى الطويل. يُساهم التخريش الحمضي في إزالة طبقة اللطاخة ويبطِّئ الإنزيمات الحالة في العاج العاجية الراتجية عندما تم استخدام النظام الرابط العام-ALL BOND UNIVERSAL® بتقنية التخريش الحمضي والغسل مقارنة مع تقنية التخريش الحمضي الذاتي (Michaud and Brown, 2018, 658).

تم تطبيق المادة الرابطة في مجموعة IDS على كامل السطح العاجي بعد الانتهاء من التحضير للحصول على طبقة راتجية مُتجانسة لها القدرة على منع امتصاص السوائل وحماية المنطقة الهجينة خلال مرحلة الترميم المؤقت (Stavridakis *et al.*, 2005, 753)، ولحماية سطح التماس البيني العاجي الراتجي غير الناضج من التعب الناجم عن الإجهادات وخاصة التقلص التصلبي للأسمنت الراتجي حيث يتطور الربط العاجي خلال مرحلة الترميم المؤقت بحرية وبظروف مثالية حتى الانتهاء من عملية البلمرة الإسهامية (Baroudi and Rodrigues, 2015, ZE20). تمت إزالة الطبقة الراتجية السطحية المُتبَّطة بالأكسجين من خلال إعادة التماثر الضوئي لمدة 20 ثانيةً بعد تغطية السطوح بهلام الجلسرين لإتمام عملية التصلب (Magne *et al.*, 2007, 170).

استُخدِمَ في الدراسة بروتوكول للترميمات المؤقتة مُصمَّم خصيصاً مع الختم الفوري، يتَّألف من العازل (PRO-V COAT®) والخشوة المؤقتة (PRO-V FILL®) وسائل التلميع منخفض اللزوجة (BisCover™ LV)، حيث يُؤمَّن الترميم المؤقت إلصاق ذاتي على السن المُحضر بدون الحاجة إلى

الحرة في طبقة IDS خلال مرحلة الترميم المؤقت والتي تحكم لاحقاً في إتمام عملية البلمرة الإسهامية مع الأسمنت الراطي. خضعت العينة إلى شيخوخة أصطناعية، عن طريق إجراء تقادم حراري مائي التزاماً بمبادئ المُنظمة الدولية للمعايير القياسية باختبار خصائص المواد المستعملة في طب الأسنان حيث يُحاكي هذا البروتوكول ظروف الوسط داخل الفموي من ناحية الرطوبة وتبدل درجات الحرارة وتسبّب جهوداً وتغييرات مجهرية في بنية الأسمنت لاختلاف عامل التمدد الحراري للأسمantas الراطيّة عن عامل التمدد الحراري للنسج السنيّة، وهذا يمكن أن يؤدي إلى فشل الارتباط في المناطق الضعيّفة وتشكل الفجوات ومن ثم التسرب المجهي (ISO/TS 11405, 2003).

هناك العديد من الاختبارات التي يمكن إجراؤها لقياس قوى الارتباط ولكن يُعد اختبار قوى القص من أكثر الاختبارات المستخدمة لتقدير قوى الارتباط الناجمة وبالتالي فعالية المواد الرابطة (Ismail et al., 2021, 140). يؤدي اختبار قوى القص بشكل عام إلى قيم غير متجانسة بسبب حدوث فشل تماسكي بالخزف أو العاج، إلا أن تحضير مفردات العينة لهذا الاختبار بسيطة نوعاً ما بالمقارنة مع اختبار قوى الشد (McDonough et al., 2002, 3606). استُخدمت مفردات العينة مع مساحة سطح ارتباط بمقدار $(\pi \times 3.14)^2 \times (0.9)^2$ مم² حيث كان قطر القرص الخزفي 1.8 مم، ويشار إلى اختبار القص عندما تكون مساحة السطح المرتبط 3 مم² أو أقل بمقاييس قوى القص المجهي التي تسمح عادةً بفحص فعال لمجموعة متنوعة من السطوح المرتبطة حسب نوعها وعمقها مع المحافظة على الأسنان (Phrukkanon et al., 1998, 123). إن طريقة القص المجهي (micro-shear μSBS) تحد من الفشل التماسكي للدعامة، حيث تعتبر طريقة قياس أكثر دقة لقيم الارتباط بسبب التركيز المحدد للإجهاد بين الأسمنت الراطي الرابط وسطح الارتباط البينية (Placido et

السطح العاجي المكشوف لأن عدم التصليب يؤثر بشكل سلبي على الارتباط، حيث يمكن أن يؤدي إلى حدوث مشكلتين الأولى هي احتمالية خروج السائل الذي يملأ الفنون العاجية عندما نضع الترميم في مكانه وتمديده للمادة الرابطة أو إغلاقه للمسامية المجهرية للعاج فيمنع من ادخال المادة الرابطة، أما المشكلة الثانية فهي انهيار العاج غير المتمعدن وألياف الكولاجين المكشوفة مكسوفة الأملام المعدنية بسبب الضغط المطبق عليهم من الأسمنت الراطي وبالتالي تهار المنطقة الهجينة العاجية الراطية غير المتصلبة مما يؤدي إلى منطقة هجينة سيئة (Dietschi et al., 1995, 299).

ولقد طُبّقت مادة السيلان المزاوجة (Silane) على كامل السطح الداخلي المخرّش للقرص ثم تم تسخينه حيث تتضاعف قوى الارتباط بين القرص الخزفي والأسمنت الراطي عند تسخين سطحه المُغطى بالسيلان إلى درجة الحرارة 100° مئوية (Roulet et al., 1995, 382).

استُخدم الأسمنت الراطي لإلصاق الأقراص الخزفية لأنّه يُعد الخيار الأمثل للإلصاق النهائي كما يُبدي القدرة على تقليل التسرب المجهي مع الوقت بسبب انحلاليته المنخفضة (Magne, 2005, 151). واستُخدمت رؤوس اهتزازية صوتية (Sonic tips SF1981/SF12; Komet Dental) مُخصصة لتطبيق ضغط بمقدار 1.5 نيوتن وذلك للتأكد من تمام إلصاقها في المكان المحدد بشكلٍ لطيفٍ ودقيقٍ.

حُفِظَت الصواحك بعد تثبيت الترميمات المؤقتة في وحدة التعقيم بالحرارة الجافة في محاولة لمحاكاة شروط البيئة الفموية لمدة 14 يوماً فقط لأن فترة التخزين الطويلة يمكن أن تؤثّر في جودة واستقرار سطح التماس والربط البيني بين طبقة الراطي على سطح العاج المختوم والأسمنت الراطي حيث أظهر Burtscher (1993, 217) الأهمية الكبيرة لمعدل بقاء الجذور

(14.89) ميغا بascal. وأظهرت دراسة Augusti وزملاؤه (2018, 693) حول الختم العاجي الفوري، أنه عند استخدام أسمنتات أكسيد الزنك الخالية من الأوجينول (Temp-BondTM) بلغ متوسط قيم مقاومة قوى القص المجهري بين 17.8-21.6 ميغا بascal وعند استخدام الأسمنتات المؤقتة ذات الأساس الراتجي الخالية من الأوجينول (Temp-BondTM) تراوح متوسط القيم بين (19.4-15.8) ميغا ClearTM بascal. وفي دراسة Reboul وزملاؤه (2018, 212) بلغت متانة الارتباط عند تطبيق قوى القص على الحشوات المُعطلية للسطح الإطباقى في مجموعة IDS (15.74) ميغا بascal وفي Dalby مجموعة DDS (12.07) ميغا بascal. وفي دراسة Dalby وزملاؤه (2012, 310702) بلغت مقاومة قوى القص لأقراص الخزف الزجاجي والمُلصقة على العاج باستخدام الأسمنت الراتجي ذاتي التخريش (94-6.94) ميغا بascal في مجموعة DDS و(7.17) ميغابascal في مجموعة DDS. وفي دراسة Lee و Park (2009, 288) بلغ متوسط مقاومة قوى IDS القص لأقراص الكومبوزيت غير المباشرة في مجموعة (14.90) ميغا بascal وفي مجموعة DDS (12.16) ميغا بascal، وعند استخدام الأسمنت الراتجي العام (Duo-LinkTM) بلغت متانة الارتباط (14.65) ميغا بascal في بascal في مجموعة IDS و(12.67) ميغا بascal في مجموعة DDS.

أما بعد تطبيق بروتوكول التقادم بالحرارة الرطبة، أصبحت متانة قوى القص المجهري في الدراسة الحالية (8.1) ميغا بascal في مجموعة IDS و(5.4) ميغا بascal في مجموعة DDS.

بلغ متوسط قيم مقاومة قوى القص في دراسة Van den Breemer وزملاؤه (2019a, 52) للفوالب البلاستيكية دائيرية الشكل المملوءة بالأسمنت الراتجي بعد تطبيق 10000 دورة حرارية في مجموعة IDS (16.05-14.49) ميغا بascal وفي

(2010, 594) Andrade وزملاؤه (al., 2007, 1087) يفضل استخدام طريقة اختبار القص المجهري عندما تكون السطوح المرتبطة مستوية أو غالبيتها مستوية. إن اختبار متانة الارتباط اتجاه قوى القص المجهري هو طريقة فعالة في فهم التفاعلات المعقّدة والتي تحدث عند سطح التماس والربط البيني المتداخل العاجي الراتجي وعلى وجه الخصوص في الواقع التي لا يمكن الوصول إليها من خلال اختبار القص الكبير (McDonough *et al.*, 2002, 3604).

تم إجراء اختبار مقاومة قوى القص المجهري SBS بواسطة إزميل ذو حافة سكينية بسبب حساسيته العالية لتمييز الاختلافات بين مفردات العينة والنسب العالية لنماذج فشل الارتباط، كما أن طريقة الإزميل عملية أكثر وأسرع وأسهل بالتعامل خال إجراء اختبار القص بالمقارنة مع السلك التقويمي (Muñoz *et al.*, 2014, 598). تتصح المنظمة الدولية للمعايير القياسية ISO باستخدام الإزميل ذو الحافة السكينية (ISO/TS 11405, 2003)، وهذا قد تم اتباعه من قبل McDonough *et al.*, 2002, 3802; العديد من المؤلفين (Tosun *et al.*, 2008, 66) استخدم الكثير من المؤلفين سرعة اختبار 1 م/دقيقة في دراساتهم لمقاومة قوى القص المجهري Leesungbok *et al.*, 2015, 228; Dalby *et al.*, 2012, (310702; Tosun *et al.*, 2008, 628).

أظهرت الدراسة الحالية أن متانة قوى القص المجهري قبل تطبيق بروتوكول التقادم بالحرارة الرطبة كانت في مجموعة IDS (20.2) ميغا بascal وفي مجموعة DDS (14.4) ميغا بascal. بلغت مقاومة قوى القص في دراسة Falkensammer وزملاؤه (2014, 373) في مجموعة IDS (13.7) ميغا بascal وفي مجموعة DDS (19.5) ميغا بascal. أما في دراسة Sag Bektaş (2020, 12-p) بلغ متوسط قيم مقاومة قوى القص في مجموعة IDS (18.57) ميغا بascal وفي مجموعة DDS

(2008) وهذا يتواافق حسب Chevalier وزملاؤه (1999, 2152) مع حوالي خمس عشرة إلى عشرين سنةً من الأداء السريري. ثُمَّ تأثير هذه هي الدراسة المخبرية الأولى التي تقييم تأثير التقادم باستخدام جهاز التعقيم بالحرارة الرطبة في متانة قوة ارتباط الختم العاجي الفوري، بينما قيمت عدد من الدراسات السابقة متانة الختم العاجي الفوري من خلال استخدام الدورات الحرارية بفترات مُتعددة والتحميل الدوري المتكرر بجهود مختلفة. وإن معظم الدراسات المخبرية التي تم إجراؤها سابقاً لتقدير ديمومة الختم العاجي الفوري أظهرت نتائج تمثل سنة أو سنتين من الخدمة السريريّة. اقترح Gale و Darvell (1999, 89) بأنَّ 10000 دورة حرارية تمثل تقريباً سنة واحدة من الأداء السريري، ولقد قام Leesungbok وزملاؤه (2015, 224) بإخضاع مفردات عينة الختم العاجي الفوري إلى الدورات الحرارية حتى 14 يوم وبمعدل 21000 دورة في حمامات مائية بين درجة حرارة 5° و 55° مئوية وهذا يمكن أن يعادل حسب دراسة (Gale and Darvell, 1999, 89) حوالي سنتين من الخدمة السريريّة. ولقد أخضع Ishii وزملاؤه (2017, 357) و Murata وزملاؤه (2018, 928) مفردات عينة الختم العاجي الفوري إلى جهود التحميل الميكانيكي الدوري المتكرر بمعدل 157 نيونن لـ 90 دورة/دقيقة و 3×10^5 دورة بالإجمالي وهذا يمكن أن يمثل تقريباً وفقاً لدراسة (Barkmeier *et al.*, 2004, 269) سنة واحدة من الخدمة السريريّة.

أظهرت الدراسة الحالية حدوث انخفاض في قيم قوى الارتباط في مجموعتي الختم العاجي بعد تطبيق بروتوكول الشيخوخة حيث سببت دورات التقادم الحراري المائي انهياراً ملحوظاً في الربط العاجي الراتجي. يمكن تفسير التأثيرات المعاكسة للقادم على مكونات مفصل الربط باختلاف عوامل التمدد الحراري لكلٍ من السطوح المرتبطة وسطح التماس البنية المتداخلة والمادة الرابطة والذي يسبب درجات متباعدة من التقلص والتمدد

مجموعة DDS (7.35-3.09) ميغا بascal حسب النظام الرابط المستخدم. بينما بلغ متوسط قيم مقاومة قوى القص في دراسة Shakal (2017, 3907) للأقراص المصنوعة من خرف ثاني سيليكات الليثيوم المقوى ببلورات الزركونيا بعد تطبيق دورات حرارية وميكانيكية (4.88-4.82) ميغا بascal في مجموعة IDS و (8-4.44) ميغا بascal في مجموعة DDS وذلك حسب طريقة معالجة سطح الخزف. وكان متوسط متانة قوى القص في دراسة Choi و Cho (2010, 39) بعد تطبيق 500 دورة حرارية (4.11-11.18) ميغا بascal في مجموعة IDS و (3.14) ميغا بascal في مجموعة DDS وذلك حسب النظام الرابط المستخدم.

بالنظر إلى قيم متانة القص، يوجد تنوع كبير في القيم بالمقارنة مع الدراسات السابقة حيث يوجد اختلافات في طرق الشيخوخة الاصطناعية والدعامات ومواد الترميمات وأنظمة الإلصاق والأسمدة المؤقتة وهذا ربما يفسر القيم المتعددة الموجودة. تم إخضاع مفردات العينة في هذه الدراسة إلى التقادم بالحرارة الرطبة باستخدام جهاز التعقيم بضغط البخار وذلك لمحاكاة عملية التقادم الفعلية التي تحدث في البيئة الفموية، ويجب أن يؤخذ بعين الاعتبار درجة حرارة التقادم والوسط والضغط و زمن التعرض. إن الماكاكة الاصطناعية للتقادم في العمر باستخدام التقادم الحراري المائي هي بروتوكول شائع لمحاكاة التقادم في العمر للمواد (ISO/TS 13356, 2008)، وهي طريقة عملية وموفرة لوقت والمال لتسريع التقادم بسبب بساطتها وتوفرها في التجهيزات السريريّة، ولقد اعتبر Chevalier وزملاؤه (1999, 2152) بأن وضع مفردات العينة ضمن معقمة الحرارة الرطبة لمدة ساعة واحدة بدرجة حرارة 134° مئوية وضغط 0.2 ميغا بascal يحاكي حوالي ثلات إلى أربع سنوات من الأداء السريري بدرجة حرارة 37° مئوية، وفي هذه الدراسة تم إنجاز التقادم الحراري المائي حسب توصيات ISO/TS 13356, (

مستقر عند تطبيق الختم العاجي الفوري وتخرّش سطح الخزف بحمض فلور الماء، وانفتقت الدراسة الحالية كذلك مع دراسة Leesungbok وزملائه (2015, 229) حيث وجد أن متوسط قيم متانة الارتباط بدأ بالانخفاض بعد 7 أيام من تطبيق الدورات الحرارية لذلك أشار إلى ضرورة إلصاق الترميمات الخزفية خلال أسبوع واحد بعد إجراء الختم العاجي الفوري. بينما وجد van den Breemer وزملاؤه (2019a, 52; 2019b, 29) حدوث استقرار بسطح الارتباط البيني مع الوقت عند استخدام الختم العاجي الفوري وفسّر ذلك بتحسين التشرب الراحتي للمواد الرابطة ضمن العاج المرتبط بتطبيق طبقة IDS، وحسب Magne وزملاؤه (2007, 171) يمكن الحصول على متانة ارتباط جيدة للترميم النهائي مع العاج المختوم حتى مع امتداد فترة المؤقت إلى اثنى عشر أسبوعاً.

لم يكن هناك فرق جوهري إحصائياً في قيم متانة قوى الارتباط بين مجموعتي الختم العاجي ($p = 0.222$) بعد تطبيق بروتوكول التقادم الجاهي لمواد البخار. بينما أظهرت هذه الدراسة مقاومة قوى ارتباط عالية في مجموعة الختم العاجي الفوري بالمقارنة مع طريقة الختم القليدية قبل تطبيق بروتوكول التقادم ($p = 0.015$), حيث يؤمن الختم العاجي الفوري ارتباطاً عاجياً راتجياً مثاليًا وخالياً من الإجهادات لأن الإلصاق المتأخر للترميم بعد تصليب المادة الرابطة يؤدي إلى نضج الرابط العاجي من خلال استمرار تطور الارتباط العاجي مع الوقت حتى الانتهاء من عملية البلمرة الإسهامية الناجمة عن استمرار تصلب المادة الرابطة Dietschi et al., 2002, 266)، كما أن نضج المنطقة الهجينية يُساعد في تحسين مقاومة سطح التماس والربط البيني للإجهادات القلاصية للأسمنت الراحتي المطبق عليه والناجمة عن ارتفاع عامل الشكل C خلال عملية الإلصاق النهائي وبالتالي يقلل من حالات فشل الارتباط. اعتبر Murata وزملاؤه (2018, 936) أن طبقة الختم العاجي الفوري IDS بين الأسمنت الراحتي والعاج تعمل

ويسهل من حدوث ظاهرة التعب والإجهاد لهذه المكونات مما يؤدي إلى فشل الارتباط فيما بينها (André et al., 2016, 29)، والسبب الآخر المحتمل حسب ما ذكر Shono وزملاؤه (1999, 215) هو أن مفردات العينة التي تمتلك مساحة سطح ارتباط صغيرة يمكن أن تتأثر بشكل أكبر بالتغييرات الحرارية المائية على سطحها. إن تخرّب الارتباط العاجي الراحتي يمكن أن يعزى أيضاً إلى تعرّض سطوح الارتباط البينية لجو من الرطوبة النسبية بدرجة حرارة 37°C مئوية لمدة أربعة عشر يوماً خلال فترة حفظ الضواحك ضمن وحدة التعقيم بالحرارة الجافة بعد تثبيت الترميمات المؤقتة، ومن ثم تعرّضها للتقادم الحراري المائي لمدة خمس ساعات خلال تطبيق بروتوكول الشيخوخة المتتسارعة بعد الإلصاق النهائي، بالإضافة لتعرّض سطوح التماس والربط البينية للمحلول المائي من كلوريد الصوديوم بتركيز 0.9% لمدة أسبوعين تقريباً خلال فترة التخزين ريثما تم الانتهاء من إجراء اختبار القص المجهري. إن امتصاص الماء وتشكل الشجيرات المائية زاد من قابلية التخرّب الانحلالي المائي لسطح التماس والربط البيني العاجي الراحتي وبالتالي تطوير ضعف في عديدات الجزء وذلك من خلال التدين الذي ينقص من معامل المرونة ومن مقاومة القصوى لعامل الربط (Ito et al., 2005, 6456).

انفتقت نتائج هذه الدراسة مع عدد من الدراسات السابقة حيث انخفضت متانة قوى الارتباط مع الوقت كما في دراسة De Munck Hashimoto وزملائه (2009, 614) ودراسة Shakal (2017, 3910) حيث أثّرت الشيخوخة الاصطناعية بعد تطبيق دورات حرارية وmekanikية في متانة قوى القص لأقراص خزف ثانوي سيليكات الليثيوم المقوى ببلورات الزركونيا عند معاملة سطح الخزف بالسحل الهوائي بحببات أكسيد الألمنيوم والتغطية بالسيليكا بينما تم الحصول على ارتباط

Giannini *et al.* (Shakal, 2017, 3907) (al., 2017, 357 Duarte) (Kitayama *et al.*, 2009, 454) (al., 2015, 822 .(Feitosa *et al.*, 2010, 111) (et al., 2009, 1

وحسنت تقنية الختم العاجي الفوري للعاج من ممانة الارتباط بدون إجراءات الشيخوخة في العديد من الدراسات بما يتفق مع Sag and Bektas (, Reboul *et al.* (Rigos *et al.*, 2019, E167) (2020, 12-p Brigagão) (Augusti *et al.*, 2018, 693) (al., 2018, 212 Lee) (Santana *et al.*, 2016, 189) (et al., 2017, 792 (Islam *et al.*, 2006, 272) (and Park, 2009, 288 .(Okuda *et al.*, 2007, 38)

بينما لم تظهر فروقاً ذات دلالة إحصائية بين مجموعتي الختم العاجي في دراسة Dalby وزملائه (2012, 310702)، كذلك في دراسة Rozan وزملائه (2020, 941) لم تؤثر تقنية التغطية بالراتج بعد تطبيق 5000 دورة حرارية في مقاومة قوى الشد المجهري للحوشات الضمنية المصنعة باستخدام نظام CAD/CAM CAD/CAM والأسمنت الراتجي ذاتي الإلصاق RelyXTM Ultimate, 3M ESPE) بينما أثبتت التغطية بالراتج إلى زيادة ممانة الارتباط (MTBS) عند استخدام الأسمنت G-CEM LinkForceTM, GC (Corp) والأسمنت الراتجي الذي يعتمد على نظام التخريش PanaviaTM الحمضي الذاتي ذو المرحلتين من الجيل السادس (Choi V5, Kuraray Noritake Dental Inc. و Cho (39, 2010) تحسنت ممانة الارتباط مع العاج لقطع من Super Porcelain EX-3TM, Noritake Kizai) البورسلان (Co., Ltd. في مجموعة الختم العاجي الفوري عند استخدام النظام الرابط من الجيل السادس (ClearfilTM SE Bond, Kuraray Co. Ltd.) بينما لم تظهر فروق جوهرية ذات دلالة إحصائية بين طريقي

كتبة ماصة للإجهادات تجاه القوى الخارجية وساهم في تحسين قوى الارتباط. وقد يعزى سبب تفوق الختم العاجي الفوري أيضاً إلى الانطباق الأفضل للترميمات الملصقة بهذه التقنية والذي يساهم في تحسين ممانة الارتباط Hayashi *et al.*, (2016). كما أن الإلصاق الأفضل يكون مع العاج المحضر حديثاً بالمقارنة مع العاج الملوث ببقايا المؤقت، قد يكون سبب انخفاض مقاومة قوى القص المجهري في مجموعة الختم العاجي المتأخر هو تطبيق المادة الرابطة الراتجية وتصلبيها في جلسة الإلصاق النهائي ثم الإلصاق القرص الخزفي مباشرة مما أدى إلى احتمال حدوث انطباق بشكل غير كامل وزيادة في الإجهادات المطبقة على سطح التماس والربط العاجي الراتجي غير الناضج (Dietschi *et al.*, 2002, 267)

جاءت نتائج مقاومة قوى القص للمقارنة الثانية بين مجموعتي الختم متنوعة بالمقارنة مع الدراسات السابقة، بسبب اختلاف شروط الاختبار والدعامات واختلاف نوع المواد المستخدمة واستراتيجية الربط المتبعة وحجم وأبعاد الترميمات ونوع ومساحة سطوح الارتباط ومهارة المخبري وطريقة التصنيع وطرق معالجة وتنشيط طبقة IDS وهذا ربما قد يفسر النتائج المختلفة والمتنوعة الموجودة.

أظهرت غالبية الدراسات أن الختم العاجي الفوري يؤمن ممانة ارتباط أفضل مع العاج من تلك التي يتم تقديمها عند استخدام الختم العاجي المتأخر بعد تطبيق بروتوكولات شيخوخة مختلفة كالتحميل الميكانيكي الدوري والدورات الحرارية التقليدية وتقنيات التخزين المائي، حيث تم تسجيل ممانة قوى ارتباط عالية مع العاج عند تطبيق الختم العاجي الفوري مع إجراءات الشيخوخة ولمختلف أنواع الترميمات: (Abdulrahman and Zohdy, (Van den Breemer *et al.*, 2019a, 52) (2021, 251 Hayashi *et al.*) (Van den Breemer *et al.*, 2019b, E289) Ishii *et al.*) (Murata *et al.*, 2018, 928) (al., 2019, 970

باستخدام جهاز التعقيم بضغط البخار. ولقد التزم البحث بمبادئ المنظمة الدولية للمعايير القياسية ISO، وهذا يسهل مقارنة النتائج مع أبحاث أخرى مستقبلية تتبع المعايير نفسها.

محدوديات الدراسة:

أكثُر بالمقارنة مع نتائج الأبحاث السابقة على الرغم من عدم تطابق شروط الاختبار، حيث لا تُعد المقارنة بين نتيجة الدراسة الحالية ونتائج الدراسات الأخرى دقيقة بسبب اختلاف حجم العينة وطريقة العمل والأجهزة المستخدمة ودقتها، وطريقة العمل المخبري، واختلاف استراتيجية الإلصاق المتبعة، كما لم يتم دراسة تأثير تقنية الختم العاجي في خصائص Weibull لأفراد خزف ثانوي سيليكات الليثيوم من خلال استخدام معامل Weibull الذي يساعد في تقدير معدل البقاء وموثوقية متانة الارتباط أو من خلال إجراء تحقق من قيم إجهادات Weibull التي يحصل عندها الفشل بمستويات ثابتة من النسب المئوية وذلك لتقدير أداء قوة الارتباط. ويؤخذ على الدراسة أيضاً عدم تقييم نموذج الفشل الحاصل أو تقييم المنطقة الهجينية والأوتاد الراتنجية المتشكلة لأن التحليل الدقيق لشكل نموذج الفشل الحاصل يتطلب مجهر إلكتروني ماسح لدراسة السطوح الناتجة بعد فك الارتباط، إن هذا المجهر يعتبر أكثر موثوقية لدراسات مستقبلية ممكناً، كان من غير الممكن استخدامه في الدراسة الحالية بسبب الميزانية المحدودة.

الاستنتاجات:

بعد دراسة نتائج الدراسة ومناقشتها، وضمن محدوديات هذه الدراسة المخبرية، يمكن استنتاج الآتي:

ساهم الختم الفوري للعاج في تحسين متانة الارتباط لخزف ثانوي سيليكات الليثيوم المرتبط بعاج الأسنان قبل تطبيق التقادم الحراري المائي. كما أدت الشيخوخة المتتسارعة باستخدام جهاز التعقيم بضغط البخار إلى انخفاض قوة ارتباط الأفراد الخزفية في كلا مجموعة الختم العاجي.

الختم العاجي عند استخدام النظام الرابط ذو التخريش الحمضي والغسل من الجيل الخامس (AdperTM Single Bond 2, 3M) تحسن مقاومة (ESPE). كما وجد Sailer وزملاؤه (2012, 252) تحسن مقاومة قوى القص في مجموعة الختم العاجي الفوري عند الإلصاق باستخدام الأسمنت الراتنجي ذاتي الإلصاق (RelyX Unicem, 3M ESPE) بينما لم يكن هناك تأثير للختم العاجي الفوري مع الأسمنت الراتنجي التقليدي الذي يعتمد على نظام التخريش الحمضي والغسل (VarioLink II, Ivoclar Vivadent) والأسمنت الراتنجي الذي يعتمد على نظام التخريش الحمضي الذاتي (Panavia 21, Kuraray) (Leesungbok) (2015, 224) عند إجراء اختبار مقاومة قوى القص على أفراد الخزف الزجاجي (IPS Empress II) المُلصقة على السطوح العاجية للأرحاء الثالثة حيث تم تطبيق الدورات الحرارية على المجموعات التجريبية ذات الختم العاجي الفوري ولم يتم تطبيقها على المجموعة الضابطة ذات الختم العاجي المتأخر.

على كل حال اختلفت الدراسة الحالية مع دراسة Falkensammer وزملائه (2014, 573) حيث أظهرت مجموعة الختم العاجي الفوري متانة قوة ارتباط أقل من مجموعة الختم العاجي المتأخر، قد ترتبط أسباب هذه النتائج بتطبيق الأسمنت المؤقت الحالي من الأوجينول (Temp Bond NE, Kerr Corp) والذي قد يضعف الطبقة الهجينية أو سطح العاج على حد سواء فيزيائياً وكيميائياً، وقد يكون السبب المحتمل الآخر هو اختلاف إجراءات اختبار مقاومة قوى الارتباط.

إسهامات البحث:

يعتبر وجود مجموعة الختم العاجي المتأخر كعينة شاهدة تقارن بها نتائج المجموعة ذات الختم العاجي الفوري من إيجابيات هذا البحث، كما تُعد هذه الدراسة من الدراسات المخبرية الأولى التي تقيم فعالية الختم الفوري للعاج تحت فترة طويلة من التقادم

مُقتراحات لأبحاث مستقبلية:

- إجراء دراسة مماثلة لنقييم تأثيرات IDS على متانة الارتباط مع المينا على اعتبار أن مبادئ التحضير المحافظ تؤكد على إبقاء التحضيرات السنية ضمن طبقات المينا.
- يجب إجراء دراسة سريرية والتحقق من تقرير الفشل السريري وموقعه للتأكد من هذه النتائج المخبرية.
- ينصح بإجراء دراسة لتقييم تأثيرات IDS على متانة ارتباط الأقراص الخزفية المصنوعة من الخزف الزجاجي الفلسياري التقليدي وخزف E.max وفق بتقنية CAD-CAM.
- إجراء دراسة مخبرية مماثلة مع إيجاد آلية للقيام بدورات التحميل الميكانيكية وعدم الاكتفاء بالتقادم الحراري المائي وإجراء دراسة لنمط الفشل باستخدام المجهر الإلكتروني.

التمويل: هذا البحث ممول من جامعة دمشق وفق رقم التمويل (501100020595).

References:

1. سعد الدين محمد نادر وأيوب مهند. (2013). دراسة مخبرية مقارنة لتقدير تأثير تقنية التصنيع في الانطباق الحفافي والداخلي ومقاومة الكسر للوجوه التجميلية المصنوعة من الخزف الزجاجي المقوى ببلورات ثنائية سيليكات الليثيوم. أطروحة ماجستير، سوريا: جامعة البعث.
2. Abdulrahman, S. I., & Zohdy, M. M. (2021). Effect of Delayed Dentin Sealing versus Immediate Dentin Sealing on Tensile Bond Strength of Ceramic Restoration Material.-An in vitro study. *Al-Azhar J Dent Sci*, 24(3), 251-257.
3. Andrade, A. M., Moura, S. K., Reis, A., Loguercio, A. D., Garcia, E. J., & Grande, R. H. (2010). Evaluating resin-enamel bonds by microshear and microtensile bond strength tests: effects of composite resin. *J Appl Oral Sci*, 18(6), 591-598. doi: 10.1590/s1678-77572010000600010. PMID: 21308290; PMCID: PMC3881754.
4. André, M., Kou, W., Sjögren, G., & Sundh, A. (2016). Effects of pretreatments and hydrothermal aging on biaxial flexural strength of lithium di-silicate and Mg-PSZ ceramics. *J Dent*, 55, 25-32. doi: 10.1016/j.jdent.2016.09.002. Epub 2016 Sep 13. PMID: 27638179.
5. Augusti, D., Re, D., Özcan, M., & Augusti, G. (2018). Removal of temporary cements following an immediate dentin hybridization approach: a comparison of mechanical and chemical methods for substrate cleaning. *J Adhes Sci Technol*, 32(7), 693-704.
6. Barkmeier, W. W., Latta, M. A., Erickson, R. L., & Lambrechts, P. (2004). Comparison of laboratory and clinical wear rates of resin composites. *Quintessence Int*, 35(4), 269-274. PMID: 15119711.
7. Baroudi, K., & Rodrigues, J. C. (2015). Flowable Resin Composites: A Systematic Review and Clinical Considerations. *J Clin Diagn Res*, 9(6), ZE18-24. doi: 10.7860/JCDR/2015/12294.6129. Epub 2015 Jun 1. PMID: 26266238; PMCID: PMC4525629.
8. Brigagão, V. C., Barreto, L. F. D., Gonçalves, K. A. S., Amaral, M., Vitti, R. P., Neves, A. C. C., & Silva-Concilio, L. R. (2017). Effect of interim cement application on bond strength between resin cements and dentin: Immediate and delayed dentin sealing. *J Prosthet Dent*, 117(6), 792-798. doi: 10.1016/j.prosdent.2016.09.015. Epub 2016 Nov 12. PMID: 27847158.
9. Burke, F. J., Fleming, G. J., Nathanson, D., & Marquis, P. M. (2002). Are adhesive technologies needed to support ceramics? An assessment of the current evidence. *J Adhes Dent*, 4(1), 7-22. PMID: 12071631.
10. Burtscher, P. (1993). Stability of radicals in cured composite materials. *Dent Mater*, 9(4), 218-221. doi: 10.1016/0109-5641(93)90064-w. PMID: 7988751.
11. Carrilho, M. R., Geraldeli, S., Tay, F., de Goes, M. F., Carvalho, R. M., Tjäderhane, L., Reis, A. F., Hebling, J., Mazzoni, A., Breschi, L., & Pashley, D. (2007). In vivo preservation of the hybrid layer by chlorhexidine. *J Dent Res*, 86(6), 529-533. doi: 10.1177/154405910708600608. PMID: 17525352.
12. Chevalier, J., Cales, B., & Drouin, J. M. (1999). Low-temperature aging of Y-TZP ceramics. *J Am Ceram Soc*, 82(8), 2150-2154.
13. Choi, Y. S., & Cho, I. H. (2010). An effect of immediate dentin sealing on the shear bond strength of resin cement to porcelain restoration. *J Adv Prosthodont*, 2(2), 39-45. doi: 10.4047/jap.2010.2.2.39. Epub 2010 Jun 30. PMID: 21165186; PMCID: PMC2984522.
14. Dalby, R., Ellakwa, A., Millar, B., & Martin, F. E. (2012). Influence of immediate dentin sealing on the shear bond strength of pressed ceramic luted to dentin with self-etch resin cement. *Int J Dent*, 2012, 310702. doi: 10.1155/2012/310702. Epub 2012 Jan 12. PMID: 22287963; PMCID: PMC3263627.

15. De Munck, J., Van Landuyt, K., Peumans, M., Poitevin, A., Lambrechts, P., Braem, M., & Van Meerbeek, B.(2005). A critical review of the durability of adhesion to tooth tissue: methods and results. *J Dent Res*, 84(2), 118-132. doi: 10.1177/154405910508400204. PMID: 15668328.
16. Dietschi, D., Magne, P., & Holz, J. (1995). Bonded to tooth ceramic restorations: in vitro evaluation of the efficiency and failure mode of two modern adhesives. *Schweiz Monatsschr Zahnmed*, 105(3), 299-305. PMID: 7716461.
17. Dietschi, D., Monasevic, M., Krejci, I., & Davidson, C. (2002). Marginal and internal adaptation of class II restorations after immediate or delayed composite placement. *J Dent*, 30(5-6), 259-269. doi: 10.1016/s0300-5712(02)00041-6. PMID: 12450717.
18. Duarte, S. Jr., de Freitas, C. R., Saad, J. R., & Sadan, A. (2009). The effect of immediate dentin sealing on the marginal adaptation and bond strengths of total-etch and self-etch adhesives. *J Prosthet Dent*, 102(1), 1-9. doi: 10.1016/S0022-3913(09)00073-0. PMID: 19573687.
19. Falkensammer, F., Arnetzl, G. V., Wildburger, A., Krall, C., & Freudenthaler, J. (2014). Influence of different conditioning methods on immediate and delayed dentin sealing. *J Prosthet Dent*, 112(2), 204-210. doi: 10.1016/j.prosdent.2013.10.028. Epub 2014 Apr 29. Erratum in: *J Prosthet Dent*. 2017 Apr;117(4):573. PMID: 24787131.
20. Feitosa, V. P., Medina, A. D., Puppin-Rontani, R. M., Correr-Sobrinho, L., & Sinhoreti, M. A. (2010). Effect of resin coat technique on bond strength of indirect restorations after thermal and load cycling. *Bull Tokyo Dent Coll*, 51(3), 111-118. doi: 10.2209/tdcpublication.51.111. PMID: 20877157.
21. Frankenberger, R., Lohbauer, U., Taschner, M., Petschelt, A., & Nikolaenko, S. A. (2007). Adhesive luting revisited: influence of adhesive, temporary cement, cavity cleaning, and curing mode on internal dentin bond strength. *J Adhes Dent*, 9 Suppl 2, 269-273. Erratum in: *J Adhes Dent*. 2007 Dec;9(6):546. PMID: 18340985.
22. Gale, M. S., & Darvell, B. W. (1999). Thermal cycling procedures for laboratory testing of dental restorations. *J Dent*, 27(2), 89-99. doi: 10.1016/s0300-5712(98)00037-2. PMID: 10071465.
23. Giannini, M., Takagaki, T., Bacelar-Sá, R., Vermelho, P. M., Ambrosano, G. M., Sadr, A., Nikaido, T., & Tagami, J. (2015). Influence of resin coating on bond strength of self-adhesive resin cements to dentin. *Dent Mater J*, 34(6), 822-827. doi: 10.4012/dmj.2015-099. PMID: 26632230.
24. Hashimoto, M., Fujita, S., Endo, K., & Ohno, H. (2009). In vitro degradation of resin-dentin bonds with one-bottle self-etching adhesives. *Eur J Oral Sci*, 117(5), 611-617. doi: 10.1111/j.1600-0722.2009.00664.x. PMID: 19758260.
25. Hayashi, K., Kawai, T., Ogawa, S., Maeno, M., Maseki, T., Dogon, I. L., & Nara, Y. (2016). Effect of optical scanner and immediate dentin sealing application on cavity adaptation of CAD/CAM restoration. *J Dent Res*, 95(SI-A), <https://aadr2016.zerista.com/poster/member/55806>. (accessed 16.07.07).
26. Hayashi, K., Maeno, M., & Nara, Y. (2019). Influence of immediate dentin sealing and temporary restoration on the bonding of CAD/CAM ceramic crown restoration. *Dent Mater J*, 38(6), 970-980. doi: 10.4012/dmj.2018-313. Epub 2019 Aug 22. PMID: 31434832.
27. International Organization for Standardization Technical Specification Report ISO/TS 11405. (2003). Dental materials-testing of adhesion to tooth structure. Second ed. Switzerland.
28. International Organization for Standardization Technical Specification Report ISO/TS 13356. (2008). Implants for surgery – Ceramic materials based on yttria-stabilized tetragonal zirconia (Y-TZP). Second ed. Switzerland.
29. Ishii, N., Maseki, T., & Nara, Y. (2017). Bonding state of metal-free CAD/CAM onlay restoration after cyclic loading with and without immediate dentin sealing. *Dent Mater J*, 36(3), 357-367. doi: 10.4012/dmj.2016-289. Epub 2017 Mar 29. PMID: 28367909.

30. Islam, M. R., Takada, T., Weerasinghe, D. S., Uzzaman, M. A., Foxton, R. M., Nikaido, T., & Tagami, J. (2006). Effect of resin coating on adhesion of composite crown restoration. *Dent Mater J*, 25(2), 272-279. doi: 10.4012/dmj.25.272. PMID: 16916229.
31. Ismail, A. M., Bouraue, C., ElBanna, A., & Salah Eldin, T. (2021). Micro versus Macro Shear Bond Strength Testing of Dentin-Composite Interface Using Chisel and Wireloop Loading Techniques. *Dent J (Basel)*, 9(12), 140. doi: 10.3390/dj9120140. PMID: 34940037; PMCID: PMC8700382.
32. Ito, S., Hashimoto, M., Wadgaonkar, B., Svizer, N., Carvalho, R. M., Yiu, C., Rueggeberg, F. A., Foulger, S., Saito, T., Nishitani, Y., Yoshiyama, M., Tay, F. R., & Pashley, D. H. (2005). Effects of resin hydrophilicity on water sorption and changes in modulus of elasticity. *Biomaterials*, 26(33), 6449-659. doi: 10.1016/j.biomaterials.2005.04.052. PMID: 15949841.
33. Kelly, J. R. (2008). Dental ceramics: what is this stuff anyway? *J Am Dent Assoc*, 139 Suppl, 4S-7S. doi: 10.14219/jada.archive.2008.0359. PMID: 18768902.
34. Kitayama, S., Pilecki, P., Nasser, N. A., Bravis, T., Wilson, R. F., Nikaido, T., Tagami, J., Watson, T. F., & Foxton, R. M. (2009). Effect of resin coating on adhesion and microleakage of computer-aided design/computer-aided manufacturing fabricated all-ceramic crowns after occlusal loading: a laboratory study. *Eur J Oral Sci*, 117(4), 454-462. doi: 10.1111/j.1600-0722.2009.00653.x. PMID: 19627359.
35. Lee, J. J., Nettey-Marbell, A., Cook, A. Jr., Pimenta, L. A., Leonard, R., & Ritter, A. V. (2007). Using extracted teeth for research: the effect of storage medium and sterilization on dentin bond strengths. *J Am Dent Assoc*, 138(12), 1599-1603. doi: 10.14219/jada.archive.2007.0110. PMID: 18056105.
36. Lee, J. I., & Park, S. H. (2009). The effect of three variables on shear bond strength when luting a resin inlay to dentin. *Oper Dent*, 34(3), 288-292. doi: 10.2341/08-82. PMID: 19544817.
37. Leesungbok, R., Lee, S. M., Park, S. J., Lee, S. W., Lee, D. Y., Im, B. J., & Ahn, S. J. (2015). The effect of IDS (immediate dentin sealing) on dentin bond strength under various thermocycling periods. *J Adv Prosthodont*, 7(3), 224-232. doi: 10.4047/jap.2015.7.3.224. Epub 2015 Jun 23. PMID: 26140174; PMCID: PMC4486618.
38. Magne, P. (2005). Immediate dentin sealing: a fundamental procedure for indirect bonded restorations. *J Esthet Restor Dent*, 17(3), 144-154; discussion 155. doi: 10.1111/j.1708-8240.2005.tb00103.x. PMID: 15996383.
39. Magne, P., So, W. S., & Cascione, D. (2007). Immediate dentin sealing supports delayed restoration placement. *J Prosthet Dent*, 98(3), 166-174. doi: 10.1016/S0022-3913(07)60052-3. PMID: 17854617.
40. Mazzoni, A., Pashley, D. H., Nishitani, Y., Breschi, L., Mannello, F., Tjäderhane, L., Toledoano, M., Pashley, E. L., & Tay, F. R. (2006). Reactivation of inactivated endogenous proteolytic activities in phosphoric acid-etched dentine by etch-and-rinse adhesives. *Biomaterials*, 27(25), 4470-4476. doi: 10.1016/j.biomaterials.2006.01.040. Epub 2006 May 9. PMID: 16687171.
41. McDonough, W. G., Antonucci, J. M., He, J., Shimada, Y., Chiang, M. Y., Schumacher, G. E., & Schultheisz, C. R. (2002). A microshear test to measure bond strengths of dentin-polymer interfaces. *Biomaterials*, 23(17), 3603-3608. doi: 10.1016/s0142-9612(02)00089-3. PMID: 12109685.
42. Michaud, P. L., & Brown, M. (2018). Effect of universal adhesive etching modes on bond strength to dual-polymerizing composite resins. *J Prosthet Dent*, 119(4), 657-662. doi: 10.1016/j.prosdent.2017.06.018. Epub 2017 Sep 27. PMID: 28967403.
43. Muñoz, M. A., Sezinando, A., Luque-Martinez, I., Szysz, A. L., Reis, A., Loguercio, A. D., Bombarda, N. H., & Perdigão, J. (2014). Influence of a hydrophobic resin coating on the bonding efficacy of three universal adhesives. *J Dent*, 42(5), 595-602. doi: 10.1016/j.jdent.2014.01.013. Epub 2014 Feb 4. PMID: 24508503.

44. Murata, T., Maseki, T., & Nara, Y. (2018). Effect of immediate dentin sealing applications on bonding of CAD/CAM ceramic onlay restoration. *Dent Mater J*, 37(6), 928-939. doi: 10.4012/dmj.2017-377. Epub 2018 Jul 12. PMID: 29998944.
45. Oilo, G. (1987). Adhesion of dental materials to dentine: Debonding tests. In: Thylstrup A, Leach SA, Qvist V, ed. Dentine and dentine reactions in the oral cavity. Oxford: IRL Press Ltd, 219-224.
46. Okuda, M., Nikaido, T., Maruoka, R., Foxton, R. M., & Tagami, J. (2007). Microtensile bond strengths to cavity floor dentin in indirect composite restorations using resin coating. *J Esthet Restor Dent*, 19(1), 38-46; discussion 47-48. doi: 10.1111/j.1708-8240.2006.00062.x. PMID: 17244149.
47. Phrukkanon, S., Burrow, M. F., & Tyas, M. J. (1998). Effect of cross-sectional surface area on bond strengths between resin and dentin. *Dent Mater*, 14(2), 120-128. doi: 10.1016/s0109-5641(98)00018-9. PMID: 10023201.
48. Placido, E., Meira, J. B., Lima, R. G., Muench, A., de Souza, R. M., Ballester, R. Y. (2007). Shear versus micro-shear bond strength test: a finite element stress analysis. *Dent Mater*, 23(9), 1086-1092. doi: 10.1016/j.dental.2006.10.002. Epub 2006 Nov 22. PMID: 17123595.
49. Qanungo, A., Aras, M. A., Chitre, V., Mysore, A., Amin, B., & Daswani, S. R. (2016). Immediate dentin sealing for indirect bonded restorations. *J Prosthodont Res*, 60(4), 240-249. doi: 10.1016/j.jpor.2016.04.001. Epub 2016 Apr 27. PMID: 27131858.
50. Reboul, T., Hoang Thaï, H. A., Cetik, S., & Atash, R. (2018). Comparison between shear forces applied on the overlay-dental tissue interface using different bonding techniques: An *in vitro* study. *J Indian Prosthodont Soc*, 18(3), 212-218. doi: 10.4103/jips.jips_165_17. PMID: 30111909; PMCID: PMC6070845.
51. Rigos, A. E., Dandoulaki, C., Kontonasaki, E., Kokoti, M., Papadopoulou, L., & Koidis, P. (2019). Effect of immediate dentin sealing on the bond strength of monolithic zirconia to human dentin. *Oper Dent*, 44(4), E167-E179. doi:10.2341/18-198-L
52. Ritter, R. G. (2010). Multifunctional uses of a novel ceramic-lithium disilicate. *J Esthet Restor Dent*, 22(5), 332-341. doi: 10.1111/j.1708-8240.2010.00362.x. PMID: 21029337.
53. Roulet, J. F., Söderholm, K. J., Longmate, J. (1995). Effects of treatment and storage conditions on ceramic/composite bond strength. *J Dent Res*, 74(1), 381-387. doi: 10.1177/00220345950740011501. PMID: 7876433.
54. Rozan, S., Takahashi, R., Nikaido, T., Tichy, A., & Tagami, J. (2020). CAD/CAM-fabricated inlay restorations: Can the resin-coating technique improve bond strength and internal adaptation? *Dent Mater J*, 39(6), 941-949. doi: 10.4012/dmj.2019-309. Epub 2020 Jun 26. PMID: 32595190.
55. Sag, B. U., & Bektas, O. O. (2020). Effect of immediate dentin sealing, bonding technique, and restorative material on the bond strength of indirect restorations. *Braz Dent Sci*, 23(2), 12-p.
56. Sailer, I., Oendra, A. E., Stawarczyk, B., & Hämmерle, C. H. (2012). The effects of desensitizing resin, resin sealing, and provisional cement on the bond strength of dentin luted with self-adhesive and conventional resincements. *J Prosthet Dent*, 107(4), 252-260. doi: 10.1016/S0022-3913(12)60070-5. PMID: 22475468.
57. Santana, V. B., de Alexandre, R. S., Rodrigues, J. A., Ely, C., & Reis, A. F. (2016). Effects of Immediate Dentin Sealing and Pulpal Pressure on Resin Cement Bond Strength and Nanoleakage. *Oper Dent*, 41(2), 189-199. doi: 10.2341/15-150-L. Epub 2015 Oct 8. PMID: 26449591.
58. Shakal, M. A. (2017). Evaluation of zirconia-reinforced lithium silicate ceramic surface treatment on their shear bond strength to dentine following immediate dentin sealing. *Egypt Dent J*, 63(4-October (Fixed Prosthodontics, Dental Materials, Conservative Dentistry & Endodontics)), 3907-3913. doi: 10.21608/EDJ.2017.76456

59. Shimada, Y., Senawongse, P., Harnirattisai, C., Burrow, M. F., Nakaoki, Y., & Tagami, J. (2002). Bond strength of two adhesive systems to primary and permanent enamel. *Oper Dent*, 27(4), 403-409. PMID: 12120779.
60. Shono, Y., Terashita, M., Shimada, J., Kozono, Y., Carvalho, R. M., Russell, C. M., & Pashley, D. H. (1999). Durability of resin-dentin bonds. *J Adhes Dent*, 1(3), 211-218. PMID: 11725669.
61. Stavridakis, M. M., Krejci, I., & Magne, P. (2005). Immediate dentin sealing of onlay preparations: thickness of pre-cured Dentin Bonding Agent and effect of surface cleaning. *Oper Dent*, 30(6), 747-757. PMID: 16382598.
62. Tay, F. R., Pashley, D. H., Suh, B. I., Carvalho, R. M., & Itthagaran, A. (2002a). Single-step adhesives are permeable membranes. *J Dent*, 30(7-8), 371-382. doi: 10.1016/s0300-5712(02)00064-7. PMID: 12554121.
63. Tay, F. R., Pashley, D. H., & Yoshiyama, M. (2002b). Two modes of nanoleakage expression in single-step adhesives. *J Dent Res*, 81(7), 472-476. doi: 10.1177/154405910208100708. PMID: 12161459.
64. Ting, S., Chowdhury, A. A., Pan, F., Fu, J., Sun, J., Kakuda, S., Hoshika, S., Matsuda, Y., Ikeda, T., Nakaoki, Y., Abe, S., Yoshida, Y., & Sano, H. (2015). Effect of remaining dentin thickness on microtensile bond strength of current adhesive systems. *Dent Mater J*, 34(2), 181-188. doi: 10.4012/dmj.2014-130. Epub 2015 Feb 24. PMID: 25740166.
65. Tosun, G., Koyuturk, A. E., Sener, Y., & Sengun, A. (2008). Bond strength of two total-etching bonding systems on caries-affected and sound primary teeth dentin. *Int J Paediatr Dent*, 18(1), 62-69. doi: 10.1111/j.1365-263X.2007.00856.x. PMID: 18086028.
66. van den Breemer, C. R., Özcan, M., Pols, M. R., Postema, A. R., Cune, M. S., & Gresnigt, M. M. (2019a). Adhesion of resin cement to dentin: effects of adhesive promoters, immediate dentin sealing strategies, and surface conditioning. *Int J Esthet Dent*, 14(1), 52-63. PMID: 30714054.
67. van den Breemer, C., Özcan, M., Cune, M. S., Ayres, A. A., Van Meerbeek, B., & Gresnigt, M. (2019b). Effect of Immediate Dentin Sealing and Surface Conditioning on the Microtensile Bond Strength of Resin-based Composite to Dentin. *Oper Dent*, 44(6), E289-E298. doi: 10.2341/18-052-L. Epub 2019 May 14. PMID: 31084533.
68. Van Meerbeek, B., Peumans, M., Poitevin, A., Mine, A., Van Ende, A., Neves, A., & De Munck, J. (2010). Relationship between bond-strength tests and clinical outcomes. *Dent Mater*, 26(2), e100-121. doi: 10.1016/j.dental.2009.11.148. Epub 2009 Dec 16. PMID: 20006379.
69. Yoshida, Y., Yoshihara, K., Nagaoka, N., Hayakawa, S., Torii, Y., Ogawa, T., Osaka, A., & Meerbeek, B. V. (2012). Self-assembled Nano-layering at the Adhesive interface. *J Dent Res*, 91(4), 376-381. doi: 10.1177/0022034512437375. Epub 2012 Feb 1. PMID: 22302145.